

## پتروگرافی و پتروژئوکمی توده نفوذی قلای لان (جنوب غرب قزوین-کردستان)

لیلا نوری هندی<sup>\*</sup>، اشرف ترکیان<sup>۱</sup> و علی اصغر سپاهی<sup>۲</sup>

(۱) کارشناس ارشد گروه زمین‌شناسی، دانشگاه بوعالی سینا، همدان، leyla\_noori@yahoo.com

(۲) استادیار گروه زمین‌شناسی، دانشکده علوم، دانشگاه بوعالی سینا، همدان

(۳) دانشیار گروه زمین‌شناسی، دانشکده علوم، دانشگاه بوعالی سینا، همدان

<sup>\*</sup>) عهده‌دار مکاتبات

دریافت: ۹۰/۱۱/۳۰؛ دریافت اصلاح شده: ۹۱/۴/۴؛ پذیرش: ۹۱/۴/۴؛ قابل دسترس در تارنما: ۹۱/۷/۲۰

### چکیده

توده نفوذی قلای لان بخشی از نفوذهای موجود در جنوب-جنوب غرب قزوین است. بر اساس مشاهدات صحرابی و ویژگی‌های کانی‌شناسی، این نفوذی مورد مطالعه شامل سه واحد دیوریت، گرانیت و گرانیت پورفیری است. سنگ‌های این واحدها از نظر ژئوشیمی از نوع I. ساب‌آلکالن و از نظر درجه اشباع از آلومینیم (ASI) متا‌آلومین هستند. در واحد دیوریتی پایین بودن نسبت‌های  $\text{Al}_2\text{O}_3/\text{FeO}+\text{MgO}+\text{TiO}_2$  و  $\text{Na}_2\text{O}+\text{K}_2\text{O}/(\text{FeO}+\text{MgO}+\text{TiO}_2)$  و تمرکز پایین نسبت  $\text{Rb}/\text{Sr}$  (کمتر از ۰/۶) بر ذوب بخشی منابع پوسته زیرین به واسطه ذوب بدون آب آمفیبولیت برای این واحد اشاره دارد. حجم زیاد سنگ‌های فلزیک (گرانیت و گرانیت پورفیری)، با این موضوع که این واحدها از طریق تفریق بلورین ماقمای والد بازالتی مشتق از گوشه توأم با آلایش به وجود آمده است، سازگار نیست. میزان پایین عناصر انتقالی (Co, Cr, Ni, V)، مقادیر پایین نسبت عناصر Ti/Zr و Nb/La و نشان می‌دهند که منشأ ماقمای اولیه واحد فلزیک احتمالاً در اثر ذوب بخشی پروتولیت‌های پوسته‌ای (متاگریواک‌ها) به وجود آمده است و ماقمای بازالتی حاصل از گوشه که در پوسته زیرین جایگزین شده‌اند محتمل‌ترین منشأ گرمایی برای ذوب بخشی بوده‌اند. نمودارهای تفکیک کتنده محیط تکتونیکی، پایین بودن نسبت U/Nb و Y/Nb و مقادیر بالای نسبت Ba/Nb بیانگر محیطی مرتبط با فرورانش در حاشیه فعال قاره‌ای برای این توده می‌باشد.

**واژه‌های کلیدی:** پوسته زیرین، دیوریت، گرانیت، متاگریواک‌ها.

### ۱- مقدمه

منطقه را با نام‌های گرانیت عزیزآباد و مشیرآباد معرفی کرده است. سنگ‌شناسی و ژئوشیمی توده گرانیتوئیدی مشیرآباد که نزدیکترین توده به منطقه مورد پژوهش می‌باشد توسط (گردیده ۱۳۸۹) بررسی شده است. بررسی ماقماییسم توده گرانو دیوریتی جنوب قزوین توسط (ترکیان ۱۳۸۷) در قالب پایان نامه دکتری انجام شده است. سن جایگزینی مجموعه گرانیتی جنوب و جنوب غرب قزوین توسط

توده نفوذی قلای لان در بخش شمال غربی پهنه سنتلچ-سیرجان واقع شده است و بخشی از فعالیت‌های ماقمایی این پهنه در زمان ژوراسیک و کرتاسه محسوب می‌شود. در منطقه قزوین تاکنون مطالعات زیادی بر روی سنگ‌های نفوذی صورت گرفته است. از جمله این مطالعات می‌توان به (عمیدی ۱۳۴۵) اشاره کرد، نامبرده توده‌های اصلی

گرفته‌اند. سپس با استفاده از نرم‌افزارهای Gcdkite Minpet و ArcGis نمودارها و نقشه‌های لازم ترسیم گردیدند.

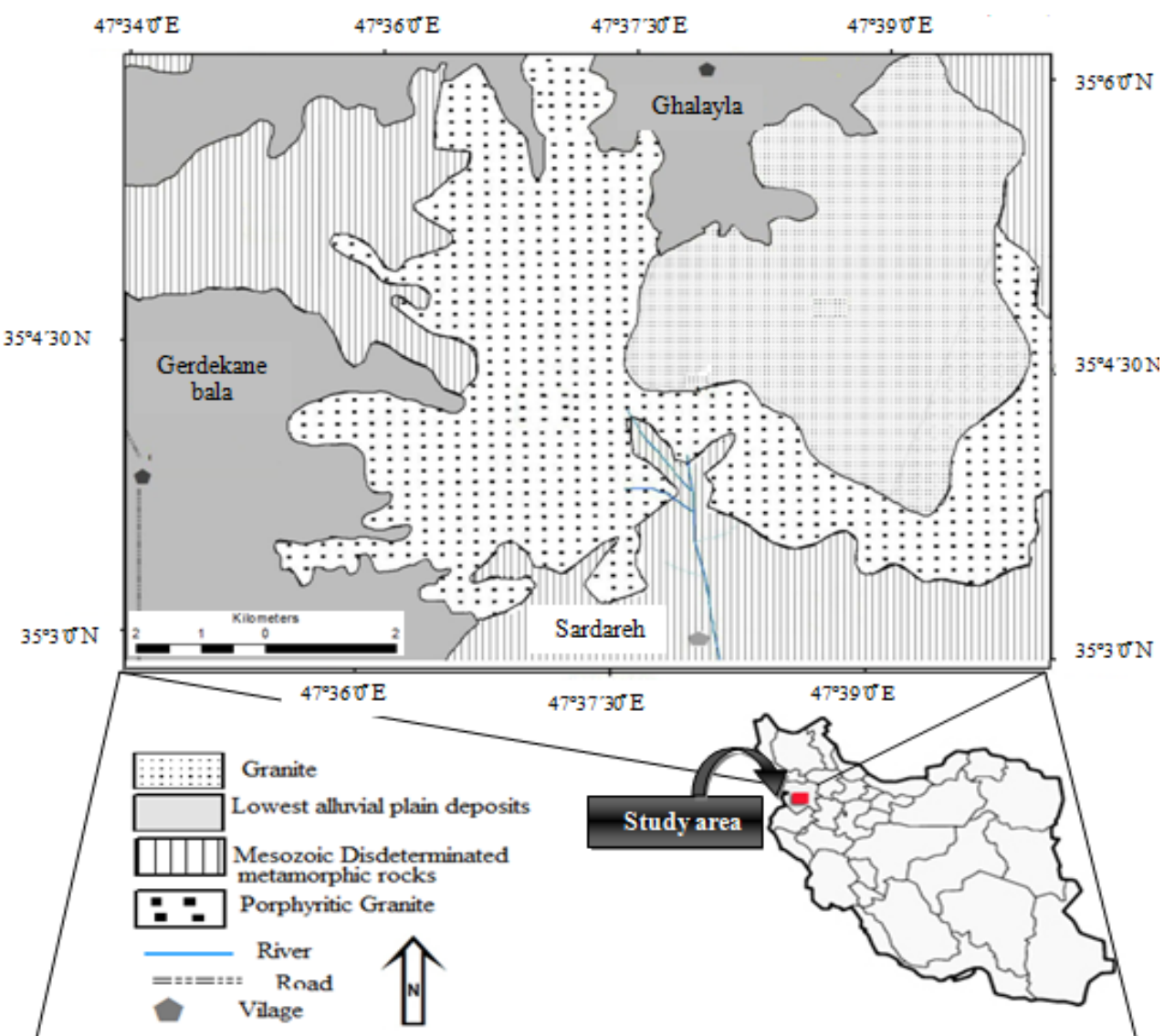
### ۳- زمین‌شناسی منطقه

منطقه مورد مطالعه در شمال غرب ایران (استان کردستان) و در جنوب غرب شهرستان قروه و حدفاصل عرض‌های جغرافیایی  $35^{\circ}30' \text{ E}$  تا  $35^{\circ}40' \text{ E}$  و طول‌های جغرافیایی  $47^{\circ}30' \text{ N}$  تا  $47^{\circ}34' \text{ N}$  واقع شده است. توده نفوذی قلای لان، بیضی‌شکل و دارای کشیدگی با روند شرقی-غربی است. این توده از سمت شمال به روستای قلای لان، از جنوب به روستای سردره و از غرب به روستای گردکانه محدود می‌باشد (تصویر ۱).

(Mahmoudi et al. 2011) به ژوراسیک میانی نسبت داده شده است. با این حال هنوز مسئله سنگ‌شناسی و ژئوشیمیایی توده نفوذی قلای-لان در هاله‌ای از ابهام بوده و کمتر مورد توجه قرار گرفته است. در این مقاله با استفاده از ویژگی‌های صحرایی، پتروگرافی و ژئوشیمیایی، پتروژئن و جایگاه تکتونیکی توده نفوذی قلای لان بررسی شده است.

### ۴- روشن مطالعه

با توجه به تغییرات سنگ‌شناسی و ویژگی‌های فیزیکی واحدهای سنگی، مطالعات پتروگرافی بر روی ۷۰ مقطع نازک صورت پذیرفته و ۱۵ نمونه از گرانیت‌ها و دیوریت‌های منطقه به روش فلورسانس اشعه ایکس (XRF) با دستگاه فیلیپس PW 2004 در آزمایشگاه کانساران بینالود (تهران) جهت بررسی شیمی سنگ‌کل مورد تعزیه قرار



تصویر ۱- نقشه زمین‌شناسی منطقه مورد مطالعه، مرزبندی بر اساس (حسینی ۱۳۹۷).

شده است. آپاتیت، زیرکن، اپیدوت، اسفن و کانی‌های کدر، کانی‌های جزئی در این واحد محسوب می‌گردد. آپاتیت به صورت بلورهای سوزنی هم در زمینه و هم در پلازیوکلازها به صورت میانبار حضور دارد. برخی از نمونه‌های گرانو-دیوریتی تحت تأثیر تکتونیک فعال منطقه واقع و بافت‌های دگرشکلی در بلورهای پلازیوکلاز، آلکالی فلدسپار و کوارتز مشاهده می‌شود (نوری هندی ۱۳۹۰) (تصویر ۲-الف). پلازیوکلازها در این نمونه‌ها متوسط تا درشت‌دانه و طول آنها بین ۸-۳ میلی‌متر متغیر می‌باشد و به صورت خودشکل تا نیمه‌شکل دار هستند. گاهی دارای زونینگ و گاهی دگرسان شده‌اند. در برخی از بلورهای آلکالی فلدسپار بافت گرانوفیری به صورت هم‌رشدی با کوارتز دیده می‌شود. بلورهای شکل‌دار تا نیمه‌شکل‌دار آمفیبیول‌ها از نوع هورنبلند سبز است. بافت شاخص این سنگ‌ها اندرال تا سابه‌درال گرانولار و در بعضی از نمونه‌ها بافت میکروگرافیکی نیز قابل مشاهده است (تصویر ۲-ب).

#### ۴-۳- واحد گرانیت پورفیری

این واحد در حاشیه توده نفوذی مورد مطالعه قرار داشته و از اطراف واحد گرانیتی را فرا گرفته است. در صحرا این واحد به سبب وجود رنگ خاکستری روشن و ساخت پورفیروئیدی آن از واحد مجاور قابل تفکیک می‌باشد. کانی‌های موجود در این سنگ‌ها شامل پلازیوکلاز (۴۰-۵۰٪)، آلکالی فلدسپار (۲۰-۲۳٪)، کوارتز (۲۵-۲۷٪) و هورنبلند (۳-۵٪)، آپاتیت، زیرکن، اسفن و کانی‌های کدر است. پلازیوکلاز به صورت شکل‌دار تا نیمه‌شکل‌دار و عموماً دارای ساخت منطقه‌ای هستند (تصویر ۲-پ). بر پایه زاویه خاموشی و ضربی شکست ترکیب پلازیوکلاز دارای نوسانات زیادی می‌باشد. در نمونه‌هایی که تحت تأثیر دگرشکلی قرار گرفته‌اند سطح پلازیوکلازها به شدت اپیدوتی شده است (تصویر ۲-ت). آلکالی فلدسپارها شامل بلورهای نسبتاً درشت میکروکلین و ارتوز پرتیتی شده هستند و عموماً حاوی ادخال‌هایی از کانی‌های پلازیوکلاز و هورنبلند می‌باشند. کوارتز به صورت بی‌شکل فضای بین بلورهای دیگر را پر کرده است. هورنبلند کانی فرومیزین اصلی در این واحد است و به صورت نیمه‌شکل‌دار تا شکل‌دار دیده می‌شود.

#### ۵- آئوژئم

به منظور بررسی خصوصیات ماقمایی توده نفوذی قلای لان تعداد ۱۵ نمونه سنگ که حداقل تأثیرات هوازدگی را متحمل شده بودند، جهت آنالیزهای شیمیایی انتخاب گردید. در (جدول ۱) نتایج آنالیز شیمیایی نمونه‌های تجزیه شده ارائه گردیده است. جهت بررسی تحولات

واحدهای چینه‌ای دربرگیرنده توده نفوذی شامل سنگ‌های آتش‌شسانی بازیک دگرگون شده، فیلیت و شیست به همراه درون لایه‌هایی از مرمر با سن تریاس-ژوراسیک هستند. لازم به ذکر است که برای واحدهای منسوب به تریاس و ژوراسیک دلایل فسیل‌شناسی یافت نشده است و این تعیین سن بر اساس رابطه این واحدها با سنگ‌های مربوط به تریاس و ژوراسیک صورت گرفته است (حسینی ۱۳۶۷). توده نفوذی مورد مطالعه از لحاظ سنی جوان‌تر از دگرگونی‌های یاد شده می‌باشد.

#### ۴- روابط صهرایی و سنگ‌شناختی

منطقه مورد مطالعه از سه واحد اصلی دیوریت، گرانیت و گرانیت-پورفیری تشکیل شده است، که در زیر به توصیف آنها می‌پردازیم.

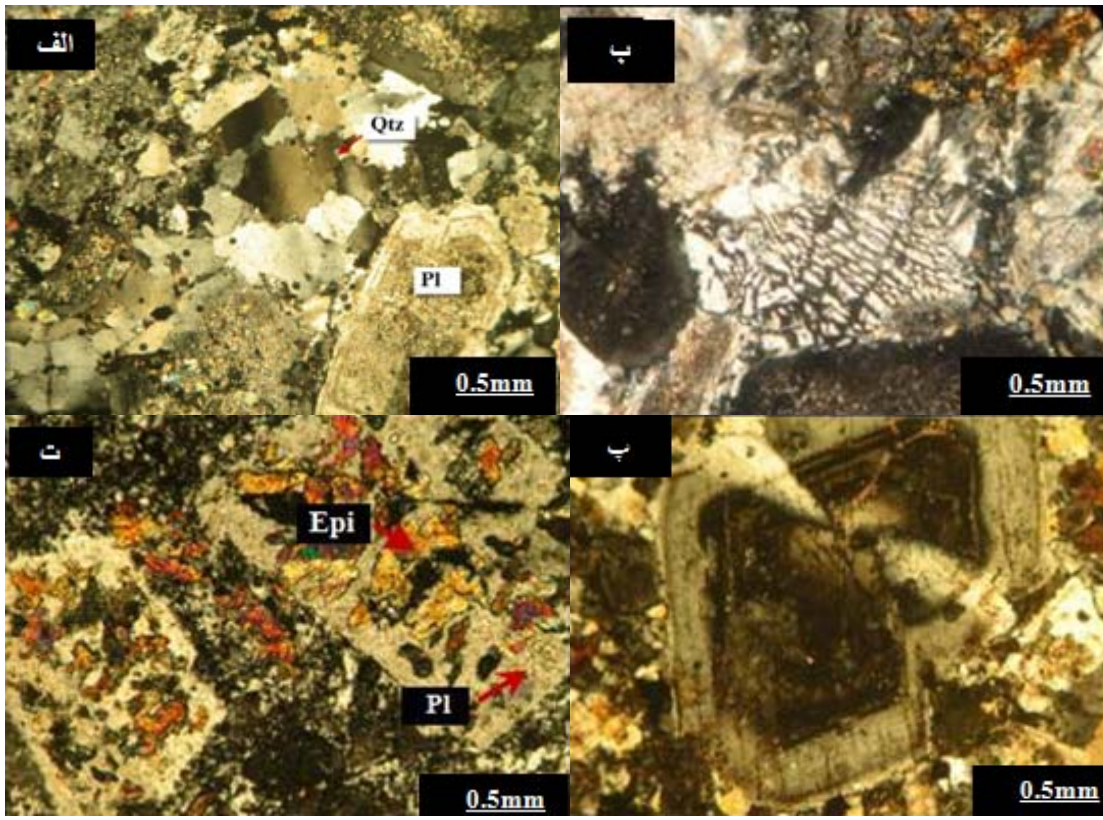
#### ۴-۱- واحد دیوریتی

واحد دیوریتی به صورت نفوذی‌های کوچک و پراکنده در حواشی توده گرانیت و گرانیت‌پورفیری رخنمون دارد. مرز بین این واحد سنگی با واحدهای دیگر مشخص و شارپ و بدون هرگونه منطقه واکنشی و تدریجی می‌باشد. طیف سنگ‌شناسی در این واحد شامل دیوریت و کوارتزدیوریت است. بافت موجود در دیوریت‌ها اغلب ساب‌هدral گرانولار است. در بعضی از نمونه‌ها به‌ویژه دیوریت‌های کوارتزدار بافت ایترکرانولار نیز مشاهده می‌شود. ترکیب کانی‌شناسی موdal واحد دیوریتی از پلازیوکلاز (۴۵-۶۰٪)، آمفیبیول (۲۰-۳۰٪)، کوارتز (۳-۷٪)، آلکالی فلدسپار (ارتوز) (کمتر از ۵٪)، تشکیل شده است. پلازیوکلاز اغلب به کانی‌های ثانویه‌ای مثل اپیدوت و گاه سریسیت تبدیل شده است. آمفیبیول موجود در این سنگ‌ها از نوع هورنبلند و به صورت بی‌شکل است. آپاتیت، اسفن و کانی‌های کدر، کانی‌های جزئی محسوب می‌شوند.

#### ۴-۲- واحد گرانیت

واحد گرانیتی محدوده بیشتری از توده نفوذی قلای لان را تشکیل داده و در مرکز این توده واقع شده است. این واحد از سمت غرب، جنوب و جنوب شرقی توسعه واحد گرانیت‌پورفیری دربرگرفته شده است. طیف سنگ‌شناسی در این واحد شامل تونالیت، گرانو-دیوریت و گرانیت است. این سنگ‌ها از لحاظ ضربی رنگی مزوکرات و از لحاظ دانه‌بندی اغلب دانه‌ریز تا دانه متوسط هستند و به رنگ سفید متمایل به سبز تا خاکستری دیده می‌شوند. ترکیب کانی‌شناسی موdal این واحد از پلازیوکلاز (۴۰-۴۵٪)، کوارتز (۲۵-۳۰٪)، آلکالی فلدسپار (ارتوز و گاهی میکروکلین پرتیتی شده) (۱۰-۲۰٪) و هورنبلند (۵-۱۰٪) تشکیل

ماگمایی از نمودارهای عناصر اصلی در برابر سیلیس (Harker 1909) استفاده شده است. همانطور که در (تصویر ۳) ملاحظه می‌شود، با افزایش مقدار سیلیس، اکسید منیزیم در واحدهای گرانیت و گرانیت-پورفیری روند کاهشی با روند خطی مشابهی را نشان می‌دهد.



تصویر ۲- (الف) تصویر میکروسکوپی از دگر‌شکلی در کانی کوارتز به صورت خاموشی موجی و مرزهای مضرسی در سنگ‌های گرانودیوریتی ب) تصویر میکروسکوپی از بافت میکروگرافیکی در سنگ‌های گرانودیوریتی ب) تصویر میکروسکوپی از منطقه بندی در پلاژیوکلاز در واحد گرانیت پورفیری ت) اپیدوتی شدن سطح بلورهای پلاژیوکلاز در واحد گرانیت.

آن است که این دو واحد با یکدیگر ارتباط ژنتیکی دارند و از یک منشأ سرچشمه گرفته‌اند. تجمع نقاط در نمودار هارکر واحد دیوریتی جدا از دو واحد قبلی می‌باشد که گویای آنست که این واحد از منشأ متفاوتی سرچشمه گرفته است و یا فرایندهای ماگمایی مختلفی در تشکیل آن مؤثر بوده است. در نمودار تغییرات عناصر آلکالی در مقابل سیلیس (Irvine & Baragar 1971)، نمونه‌های مورد مطالعه در قلمرو ساب‌آلکالن (تصویر ۴- الف)، و از لحاظ ضربی آلکالی (Frost et al. 2001) در مقابل سیلیس (Na<sub>2</sub>O+K<sub>2</sub>O-CaO) در مقابله سیلیس (Senگ-گرانیت پورفیری در محدوده آلکالی-کلسیک قرار می‌گیرند (تصویر ۴- ب). مطابق نمودار A/CNK در مقابل A/NK (Maniar & Piccolo 1974) کمی روند زنگ مانند دارند. در ارتباط با تبلور کانی‌های آلکالی‌فلدسپار باشد. تغییرات P2O<sub>5</sub> و MnO کمی روند زنگ مانند دارند. روند افزایش و کاهش عناصر در بین واحدهای گرانیت و گرانیت-پورفیری همانگی نشان می‌دهند و دارای همپوشانی هستند که بیانگر آلومنین (کمتر از ۱)، غایب بودن کانی‌های سرشار از آلومنیتم نظیر متالومین واقع شده است (تصویر ۴- ب). پایین بودن ضربی اشباعی آلومنین (کمتر از ۱)، غایب بودن کانی‌های سرشار از آلومنیتم نظیر

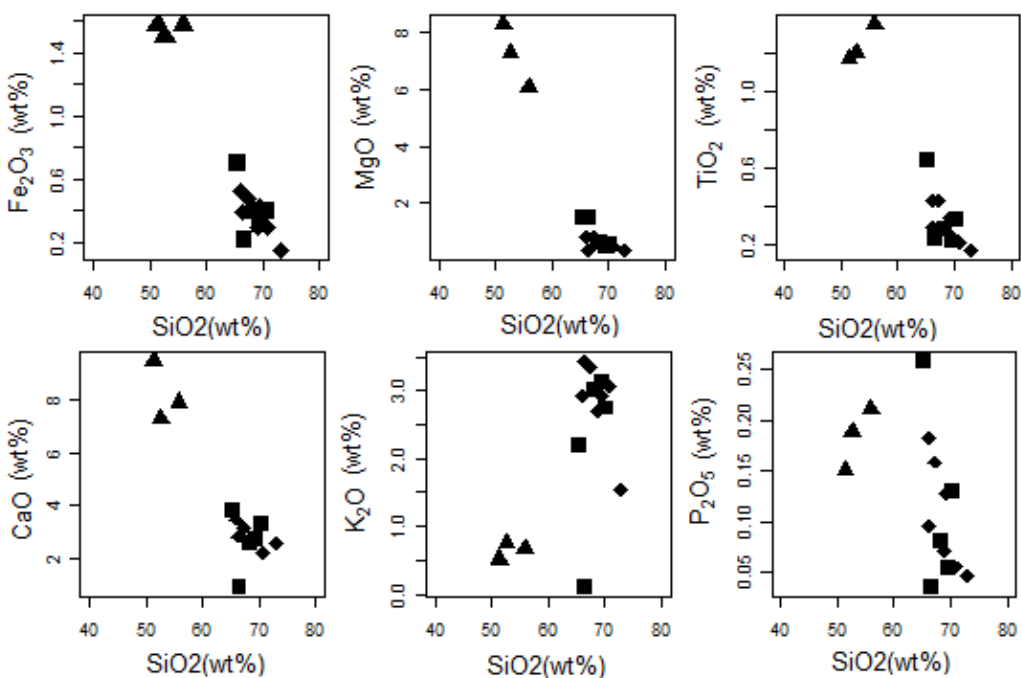
مسکویت، کدیریت و آلومینوسیلیکاتها وابستگی این مجموعه را با گروه‌های سنگی متالومین تأیید می‌کند.

جدول ۱- نتایج آنالیز شیمیایی انواع سنگ‌های مورد مطالعه (اکسیدهای عناصر اصلی بر حسب درصد وزنی و عناصر کمیاب بر حسب ppm).

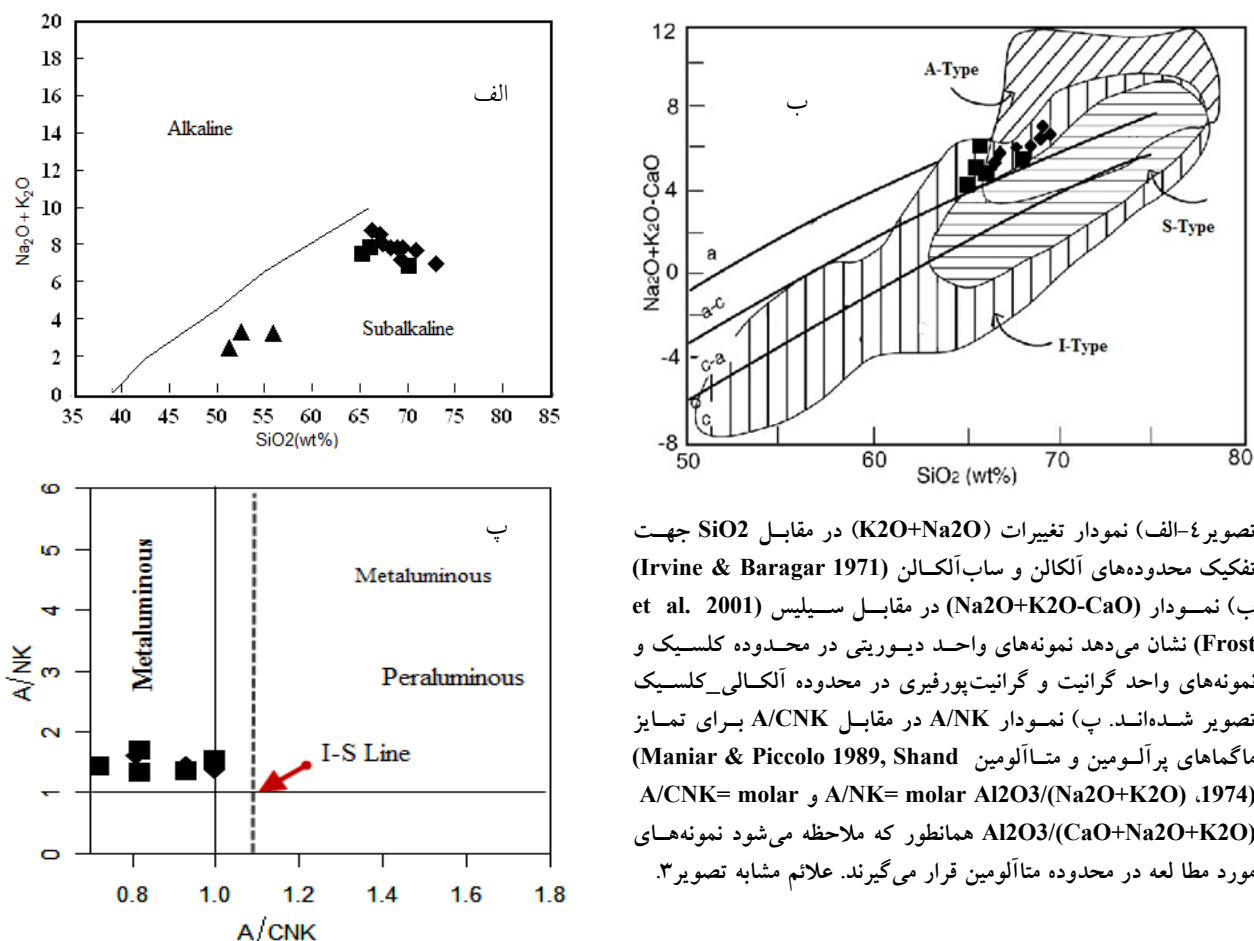
نمونه	گرانیت پورفیری							دبوریت
	N-GB-7	Gh-2-2	N-Gh-23	N-GB-8	N-Gh-13	N-GB-6	N-Gh-16	
<b>Major elements (wt%)</b>								
<b>SiO<sub>2</sub></b>	66/12	66/26	69/54	65/31	70/25	52/61	55/92	51/37
<b>TiO<sub>2</sub></b>	0/22	0/27	0/21	0/64	0/32	1/19	1/34	1/16
<b>Al<sub>2</sub>O<sub>3</sub></b>	17/53	16/21	15/77	14/89	14/78	13/39	13/34	13/19
<b>FeO<sup>t</sup></b>	1/41	2/62	2/13	4/67	2/65	10/47	10/50	10/48
<b>Fe<sub>2</sub>O<sub>3</sub></b>	0/22	0/40	0/32	0/71	0/40	1/50	1/58	1/58
<b>FeO</b>	1/19	2/22	1/81	2/96	2/25	8/89	8/92	8/90
<b>MnO</b>	0/01	0/06	0/04	0/13	0/11	0/22	0/23	0/18
<b>MgO</b>	1/47	0/62	0/46	1/46	0/53	7/23	7/02	8/28
<b>CaO</b>	0/92	2/56	2/74	3/82	3/28	7/25	7/88	9/45
<b>Na<sub>2</sub>O</b>	5/03	4/79	4/72	5/25	4/06	2/60	2/55	1/96
<b>K<sub>2</sub>O</b>	3/1	3/01	3/11	2/20	2/74	0/74	0/77	0/51
<b>P<sub>2</sub>O<sub>5</sub></b>	0/03	0/08	0/05	0/25	0/13	0/18	0/21	0/10
<b>Total</b>	98/97	98/48	98/79	98/62	98/85	90/88	98/16	97/73
<b>A/CNK</b>	1	1	1	0/82	0/82	0/81	0/72	0/63
<b>CNK</b>	0/17	0/15	0/10	0/17	0/17	0/16	0/18	0/19
<b>K<sub>2</sub>O/Rb</b>	0/007	0/03	0/05	0/06	0/02	0/02	0/01	0/01
<b>FeO /MgO</b>	0/80	3/58	3/93	2/71	4/24	1/22	1/41	1/07
<b>Trace elements (ppm)</b>								
<b>Ba</b>	143	311	265	358	286	76	104	90
<b>Sr</b>	1244	1300	1393	1191	1283	487	450	415
<b>Cu</b>	22	12	14	10	19	39	38	56
<b>Zn</b>	28	46	54	60	75	102	75	96
<b>Pb</b>	85	55	21	18	7	4	11	19
<b>Ni</b>	36	36	37	40	33	108	107	160
<b>Cr</b>	34	25	186	48	75	161	124	271
<b>V</b>	35	54	33	102	45	213	241	198
<b>Ce</b>	89	61	51	104	100	12	11	17
<b>La</b>	8	34	23	54	58	4	6	4
<b>W</b>	1	1	1	1	1	1	1	1
<b>Mo</b>	2	1	1	2	1	1	1	1
<b>Nb</b>	9	1	7	3	7	2	8	1
<b>Ga</b>	29	25	27	24	26	14	16	15
<b>Zr</b>	333	338	367	359	403	129	127	118
<b>Y</b>	32	37	40	34	42	19	25	24
<b>Rb</b>	14	84	85	49	92	32	41	35
<b>Co</b>	2	3	6	2	6	1	1	4
<b>U</b>	1	1	1	1	1	1	1	1
<b>Th</b>	3	2	6	1	1	1	8	5
<b>Ba/Nb</b>	15/88	311	37/85	119/33	40/85	25/33	13	90
<b>Nb/U</b>	9	1	7	3	7	2	8	1
<b>Ce/Pb</b>	1/04	1/10	2/42	5/77	14/28	3	1	0/19
<b>Nb/La</b>	0/02	0/8	0/05	0/12	0/75	0/75	1/33	0/25
<b>Ti/Zr</b>	7/01	7/33	5/72	0/001	7/94	0/009	0/01	0/009

ادامه جدول ۱- نتایج آنالیز شیمیایی انواع سنگ‌های مورد مطالعه (اکسیدهای عناصر اصلی بر حسب درصد وزنی و عناصر کمیاب بر حسب ppm).

نمونه	گرانیت						
	N-Gh-2	N-Gh-10	Gh-2-4	N-SD-7	N-Gh-22	N-Gh-14	Gh-2-14
<b>Major elements (wt%)</b>							
<b>SiO<sub>2</sub></b>	۶۷/۱۶	۶۷/۴۳	۷۸/۹۲	۷۰/۸۸	۷۳/۰۱	۷۹/۳۹	۶۶/۳۴
<b>TiO<sub>2</sub></b>	۰/۴۲	۰/۴۳	۰/۲۵	۰/۲	۰/۱۶	۰/۳۳	۰/۲۸
<b>Al<sub>2</sub>O<sub>3</sub></b>	۱۶/۳۵	۱۵/۶۸	۱۵/۷۷	۱۵/۱۹	۱۵/۰۲	۱۵/۱۸	۱۷/۲۳
<b>FeO<sup>t</sup></b>	۳/۴۹	۳/۱۸	۱/۹۸	۱/۹۶	۰/۹۶	۲/۸۳	۲/۰۵
<b>Fe<sub>2</sub>O<sub>3</sub></b>	۰/۰۳	۰/۴۸	۰/۳	۰/۳	۰/۱۵	۰/۷۳	۰/۳۹
<b>FeO</b>	۲/۹۶	۲/۷۰	۱/۶۸	۱/۶۶	۰/۸۱	۲/۴۰	۲/۱۶
<b>MnO</b>	۰/۱۵	۰/۱۴	۰/۰۵	۰/۰۴	۰/۰۲	۰/۱۱	۰/۰۹
<b>MgO</b>	۰/۸۳	۰/۷۹	۰/۵۱	۰/۵	۰/۳۴	۰/۷	۰/۳۷
<b>CaO</b>	۳/۴۸	۳/۱۵	۲/۸۲	۲/۲۳	۲/۰۷	۲/۸۴	۲/۰۳
<b>Na<sub>2</sub>O</b>	۴/۹۰	۴/۶۶	۵/۱۶	۴/۶۰	۵/۴۴	۴/۲۶	۵/۳۲
<b>K<sub>2</sub>O</b>	۲/۹۳	۳/۳۵	۲/۶۹	۳/۰۶	۱/۵۴	۲/۹۲	۳/۴۴
<b>P<sub>2</sub>O<sub>5</sub></b>	۰/۱۸	۰/۱۰	۰/۰۷	۰/۰۵	۰/۰۴	۰/۱۲	۰/۰۹
<b>Total</b>	۹۸/۸۹	۹۸/۹۶	۹۷/۷۳	۹۸/۷۱	۹۹/۱۱	۹۸/۶۸	۹۸/۵۴
<b>A/CNK</b>	۰/۹۳	۰/۹۳	۱	۱	۱	۱	۱
<b>CNK</b>	۰/۱۷	۰/۱۶	۰/۱۵	۰/۱۴	۰/۱۴	۰/۱۴	۰/۱۶
<b>K<sub>2</sub>O/Rb</b>	۰/۰۲	۰/۰۲	۰/۰۳	۰/۰۳	۰/۰۲	۰/۰۲	۰/۰۳
<b>FeO /MgO</b>	۳/۰۶	۳/۴۱	۳/۲۹	۳/۳۲	۲/۳۸	۳/۴۲	۵/۸۳
<b>Trace elements (ppm)</b>							
<b>Ba</b>	۳۴۳	۲۶۱	۳۰۰	۲۳۴	۱۵۴	۲۷۴	۲۰۹
<b>Sr</b>	۱۳۲۰	۱۳۱۴	۱۲۸۹	۱۱۰۳	۱۵۴۶	۱۳۵۸	۱۱۶۴
<b>Cu</b>	۱۵	۱۱	۲۴	۱۵	۱۱	۱۰	۸
<b>Zn</b>	۹۰	۱۰۲	۳۶	۳۷	۳۱	۷۷	۶۰
<b>Pb</b>	۲۳	۲۲	۲۲	۲۲	۲۳	۱۵	۸۰
<b>Ni</b>	۲۸	۳۶	۳۵	۳۴	۳۲	۳۳	۳۵
<b>Cr</b>	۶۲	۵۸	۵۱	۷۹	۷۷	۷۸	۵۲
<b>V</b>	۵۶	۵۷	۳۹	۳۰	۲۹	۴۶	۴۱
<b>Ce</b>	۹۱	۷۵	۷۹	۸۹	۴۰	۸۰	۸۷
<b>La</b>	۴۲	۳۴	۴۱	۳۷	۱۲	۴۴	۳۵
<b>W</b>	۱	۱	۱	۱	۱	۱	۱
<b>Mo</b>	۲	۲	۲	۱	۲	۱	۲
<b>Nb</b>	۹	۷	۷	۵	۵	۴	۴
<b>Ga</b>	۲۶	۲۷	۲۷	۲۴	۲۸	۲۶	۲۷
<b>Zr</b>	۴۱۲	۴۰۸	۳۷۸	۳۴۱	۳۸۶	۴۰۸	۴۰۲
<b>Y</b>	۴۶	۵۰	۴۲	۳۷	۳۲	۴۴	۴۷
<b>Rb</b>	۹۸	۱۲۱	۸۵	۹۸	۶۶	۹۸	۱۰۵
<b>Co</b>	۱	۴	۶	۲	۵	۶	۲
<b>U</b>	۱	۱	۱	۱	۱	۱	۱
<b>Th</b>	۷	۳	۸	۴	۹	۷	۲
<b>Ba/Nb</b>	۳۸/۱۱	۷۰/۲۵	۴۲/۸۵	۴۶/۸۰	۳۰/۸۰	۶۵/۵۰	۶۴/۷۵
<b>Nb/U</b>	۹	۴	۷	۵	۵	۴	۴
<b>Ce/Pb</b>	۳/۹۰	۳/۴۰	۲/۵۹	۴/۰۴	۱/۷۳	۵/۳۳	۱/۰۸
<b>Nb/La</b>	۰/۲۱	۰/۱۱	۰/۱۷	۰/۱۳	۰/۴۱	۰/۰۹	۰/۱۱
<b>Ti/Zr</b>	۰/۰۰۱	۰/۰۰۱	۷/۶۱	۵/۸۶	۴/۱۸	۴/۰۸	۶/۹۶



تصویر ۳- نمودار تغییرات اکسیدهای عناصر اصلی در مقابل سیلیس (Harker 1909) تجمع نقاط در نمودار هارکر واحد دیوریتی جدا از دو واحد گرانیت و گرانیت پورفیری می‌باشد که گویای آنست که این واحد از منشأ متفاوتی سرچشمه گرفته است و یا فرایند ماسه‌ای مختلفی در تشکیل آن موثر بوده است. در این نمودارها دیوریت‌ها با نشانه ▲ واحد گرانیتی شامل (تونالیت و گرانودیوریت) با نشانه ◆ و واحد گرانیت پورفیری با نشانه ■ نمایش داده شده است.



تصویر ۴- (الف) نمودار تغییرات (K<sub>2</sub>O+Na<sub>2</sub>O) در مقابل SiO<sub>2</sub> جهت تفکیک محدوده‌های آلکالن و ساب آلکالن (Irvine & Baragar 1971) (ب) نمودار (Na<sub>2</sub>O+K<sub>2</sub>O-CaO) در مقابل سیلیس (Frost et al. 2001) نشان می‌دهد نمونه‌های واحد دیوریتی در محدوده کلسیک و نمونه‌های واحد گرانیت و گرانیت پورفیری در محدوده آلکالی\_کلسیک تصویر شده‌اند. (پ) نمودار A/NK در مقابل A/CNK برای تمایز ماسه‌های پرآلومین و متآلومین (Maniar & Picollo 1989, Shand 1974) A/CNK= molar A/Al<sub>2</sub>O<sub>3</sub> و A/NK= molar Al<sub>2</sub>O<sub>3</sub>/(Na<sub>2</sub>O+K<sub>2</sub>O) همانطور که ملاحظه می‌شود نمونه‌های مورد مطالعه در محدوده متآلومین قرار می‌گیرند. علائم مشابه تصویر ۳.

امکان تغیریق این سنگ‌ها را از مagmaهای پوسته اقیانوسی متغیر می‌سازد (Yang et al. 2005).

۳- نسبت‌های بالای  $K_{2O}/Rb$  و  $FeO/MgO$  در نمونه‌ها (جدول ۱)، بیانگر مagmaتیسم نوع I متاالومین کمان‌های آتشفشارانی (VAG) حاشیه قاره‌هاست که توسط فرایندهای مربوط به فرورانش تشکیل شده است (Chappell & White 2001).

۴- نمودار عنکبوتی بهنجار شده نسبت به کندریت (Thompson 1996) حاکی از غنی‌شدگی آنها از عناصر LILE و تهی‌شدگی عناصر HFSE مانند Y, Ti و Nb می‌باشد. با تکیه بر مطالعات Castillo et al. 2007) روند تغییرات نمونه‌های مورد مطالعه نشان‌دهنده ارتباط توده نفوذی قلای لان با محیط تکتونیکی مرتبط با فرورانش می‌باشد (تصویر ۶).

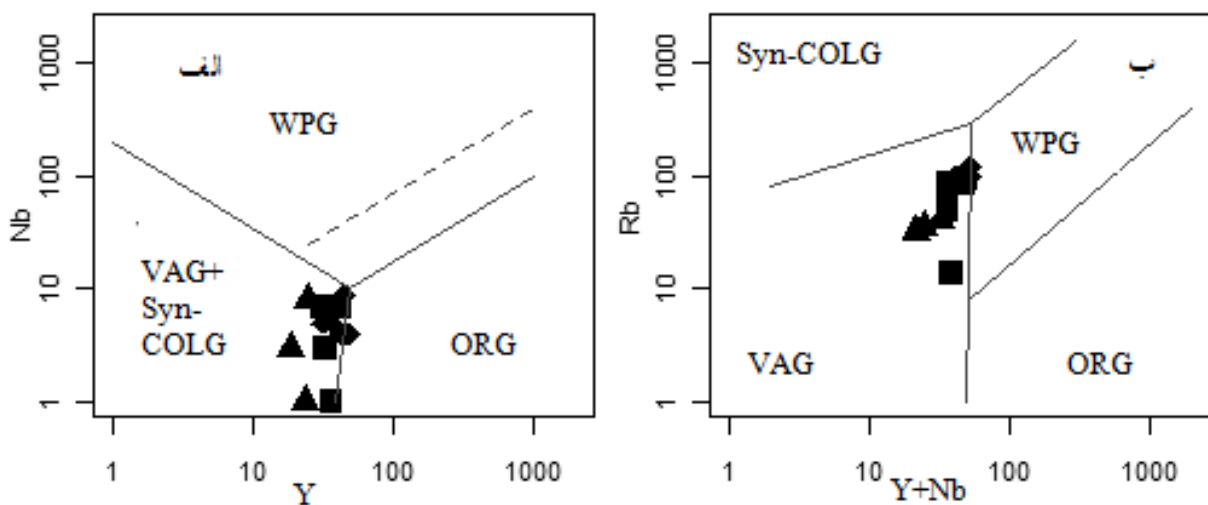
۵- آنومالی منفی Ti و Nb در نمونه‌های بهنجار شده نسبت به کندریت در نمونه‌های مورد مطالعه تابع یک یا چند عامل مختلف است که عبارتند از: ۱- مشخصه magmaتیسم مرتبط با فرایند فرورانش است (Kuster & Harms 1998). ۲- وجه مشخصه سنگ‌های پوسته قاره‌ای و شرکت پوسته در فرایندهای magmaی است (Swain et al. 2008). ۳- می‌تواند نشانه‌ای از آلوودگی پوسته‌ای و یا ذوب مجدد آن، نیز هست (Rudnick & Gao 2003).

#### ۶- محیط تکتونیک و تیپ سنگ‌های منطقه مورد مطالعه

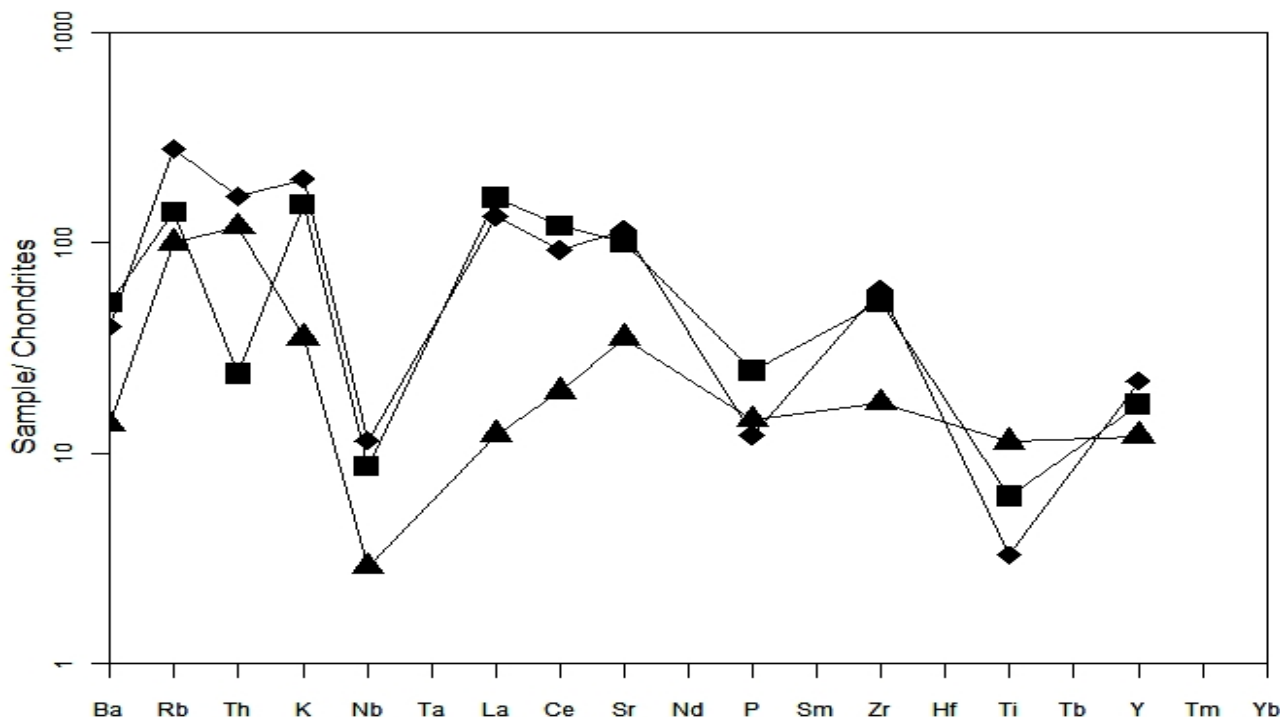
به منظور مشخص نمودن محیط تکتونیکی سنگ‌های منطقه مورد مطالعه از نمودارهای Pearce et al. 1984 (تصویر ۵-الف) استفاده شده است. همان‌طور که در نمودار Nb در مقابل Y (تصویر ۵-الف) ملاحظه می‌شود نمونه‌های مورد مطالعه در محدوده گرانیت‌های قوس آتشفشارانی و همزمان با برخورد قرار دارند. به منظور مشخص نمودن محیط اصلی تشکیل واحدهای نفوذی قلای لان از نمودار  $Y+Nb$  در مقابل Rb نیز VAG استفاده شده (تصویر ۵-ب) که همه نمونه‌ها در محدوده (گرانیت‌های قوس‌های آتشفشارانی) تصویر شده‌اند. به علاوه از مجموعه شواهد زیر نیز می‌توان برای تعیین محیط تکتونیکی تشکیل این توده نفوذی استفاده کرد:

۱- مقادیر بالای نسبت Ba/Nb (بیشتر از ۲۸) (جدول ۱) شاخص سنگ‌های است که در مناطق مرتبط با فرورانش در حاشیه فعال قاره‌ای تشکیل می‌شوند (Fitton et al. 1988). این نسبت در نمونه‌های مورد مطالعه بیشتر از ۲۸ و به طور متوسط حدود ۶۹ می‌باشد.

۲- نسبت U/Ce و Pb/Nb در نمونه‌های مورد مطالعه به ترتیب برابر  $5/33$  و  $3/47$  (جدول ۱) است که به طور واضح کمتر از نسبت-های همین عناصر در بازالت‌های پشتۀ میان‌اقیانوسی (۴۷) و یا بازالت-های جزایر اقیانوسی (۲۷) Hofmann et al. 1986) است. این موضوع می‌تواند مؤید حضور مواد پوسته‌ای در ناحیه منبع باشد و



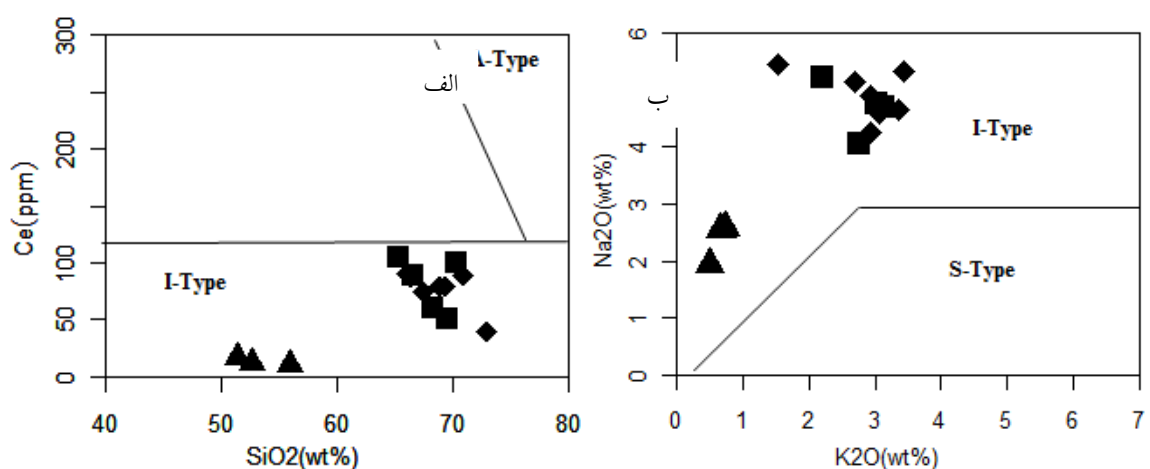
تصویر ۵-الف) نمودار تغییرات Nb در مقابل Y جهت تعیین محیط زمین ساختی تشکیل توده گرانیت‌های قلای لان (Pearce et al. 1984). نمونه‌های مورد مطالعه در محدوده گرانیت‌های قوس آتشفشارانی (VAG) و گرانیت‌های همزمان با برخورد (Syn-COLG) تصویر شده‌اند. ب) نمودار تغییرات Rb در مقابل  $Y+Nb$  (Fitton et al. 1988) Y+Nb در مقابل گرانیت‌های قوس آتشفشارانی (VAG) تصویر شده‌اند. علامت‌ها مشابه تصویر ۳ می‌باشند.



تصویر ۶- نمودار عنکبوتی بهنجار شده نسبت به کندrit (Thompson 1996)، که حاکی از غنی‌شدن عناصر LILE و تهی‌شدن عناصر HFSE مانند Y، Ti و Nb می‌باشد، علامت مشابه تصویر ۳.

کوارتز، پتاسیم فلدوپار و پلاژیوکلاز و نبود مسکویت و کانی‌های دگرگونی نظیر گارنت، پلی‌مورف‌های آلومینوسیلیکات و کردیریت و فقدان کرندول در نورم ۳- تنوع ترکیب شیمیابی نمونه‌ها از لحاظ میزان  $\text{SiO}_2$  و داشتن ویژگی متالومین، همگی دلالت بر آن دارند که توده نفوذی مورد مطالعه از نوع I است.

در نمودارهای Chappell & White 1992, Collins et al. 1982 نمونه‌های مورد مطالعه در محدوده تیپ I قرار می‌گیرند (تصویر ۷- الف و ب). به طور کلی شواهد و ویژگی‌های مانند: ۱- وجود مجموعه سنگ‌شناختی متنوع شامل دیبوریت، کوارتزدیبوریت، گرانودیبوریت و گرانیت ۲- وجود کانی مافیک هورنبلند همراه با



تصویر ۷- (الف) موقعیت نمونه‌های مورد مطالعه در نمودار  $\text{Na}_2\text{O}$  در برابر  $\text{K}_2\text{O}$  (Chappell & White 1992) K<sub>2</sub>O در برابر Na<sub>2</sub>O (Collins et al. 1982) جهت تفکیک گرانیت‌های نوع I و A، نمونه‌های مورد مطالعه در محدوده گرانیت‌های نوع I قرار می‌گیرند، علامت مشابه تصویر ۳.

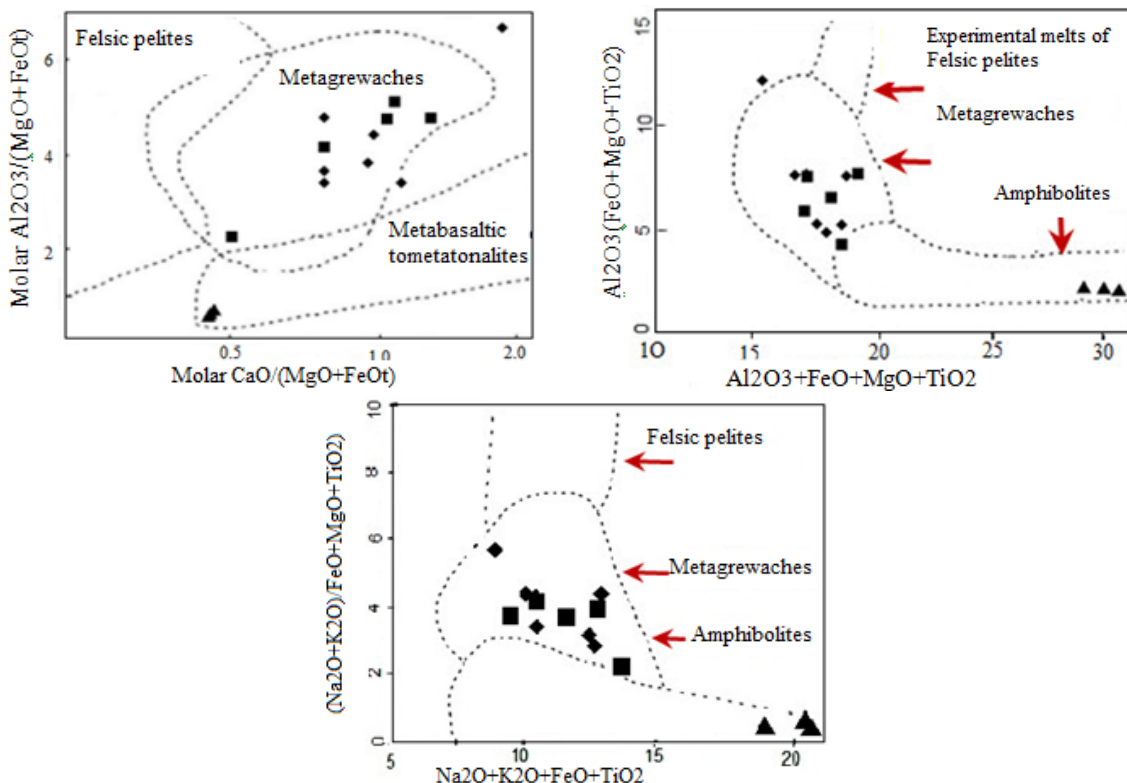
پوسته‌ای را انتظار داشته باشیم. از طرف دیگر ویژگی‌های ژئوشیمیایی واحدهای مذکور نظری غنی شدگی عناصر ناسازگار K, Th, Ce و La و آنومالی منفی A/CNK و Nb/Ti کمتر از یک، A/NK بیش از یک (Chappell et al. 1998) با مذاب‌های حاصل از پوسته‌زیرین همخوانی بیشتری دارد (Thuy et al. 1996) et al. 1998). با توجه به شواهد ذکر شده به نظر می‌رسد که واحدهای فلسیک مجموعه مورد مطالعه در اثر ذوب بخشی پروتولیت‌های پوسته‌ای (متاگریوک) به وجود آمده است (تصویر ۸)؛ ۱۹۹۴ (Wolf & Wyllie Thompson 1996) در این شرایط استقرار ماقمای گوشتیهای در زیر پوسته، ۲۰۰۴ می‌تواند گرمای لازم برای ذوب بخشی پوسته را فراهم کند.

#### ۷- منشأ ماقمای دیوریتی

دیوریت‌های توده نفوذی قلای لان دارای کانی هورنبلند، کانی‌های کدر، در نورم خود دارای دیپسید و A/CNK < 1 و میزان بالای Sr و Na<sub>2</sub>O و CaO (Thompson 1996) این مجموعه شواهد بر وابستگی آن‌ها به تیپ ماقمایی I دلالت دارد.

#### ۷- منشأ ماقمای گرانیت و گرانیت‌پورفیری

برای منشأ ماقمای فلسیک قوسی دو مدل پتروژئنوتکی ارائه شده است. در الگوی اول، ماقمای فلسیک از ماقمای بازالتی در اثر تبلور تفریقی یا فرایندهای AFC حاصل می‌شوند (Bacon & Druitt 1988) و در الگوی دوم، ماقمای بازالتی گرمای لازم برای ذوب بخشی سنگ‌های پوسته‌زیرین را فراهم می‌کنند (Guffanti et al. 1996). با توجه به حجم بودن واحدهای گرانیت و گرانیت‌پورفیری، عدم وجود ترکیب بازالتی در توده نفوذی قلای لان (همه نمونه‌ها دارای مقدار SiO<sub>2</sub> بیشتر از ۵۱ درصد هستند)، میزان پایین عناصر انتقالی (Rogers et al. 1993) و مقادیر نسبت عناصر Ti/Zr (Woodhead et al. 1995) که برای نمونه‌های مورد مطالعه به ترتیب برابر ۰/۴۶ و ۰/۸۴ (جدول ۱) که در مقایسه با ماقمای مشتق شده از گوشه لیتوسفری (به ترتیب حدود ۴ و ۱۰۰) بسیار کمتر است، تشکیل ماقمای سازنده واحدهای گرانیت و گرانیت‌پورفیری مطابق مدل (AFC)، یعنی از طریق تفریق یک ماقمای مادر بازالتی مافیک مشتق از گوشه غیرممکن است و لذا باید منابع ماقمایی با منشأ می‌باشد.



تصویر ۸- محدوده‌های ترکیبی مذاب‌های تجربی حاصل از ذوب بخشی پلیت‌های فلسیک، متاگریوک‌ها و آمفیبولیت‌ها (Altherr et al. 2000, Ferre et al. 1998, Patino Douce & Beard 1996, Patino Douce 1999) و ترکیب نمونه‌های مورد مطالعه شده، علامت‌ها مشابه تصویر ۳ می‌باشند.

گرانیت و مقادیر متوسطی از نسبت مولی  $\text{AL2O3}/(\text{MgO}+\text{FeO})$  و  $\text{CaO}/(\text{MgO}+\text{FeO})$  نشان می‌دهند که منشأ ماقمای اوپاله واحد فلزیک در اثر ذوب بخشی پرتوولیت‌های پوسته‌ای (متاگری واک‌ها) به وجود آمده و ماقمای بازالتی حاصل از گوشته که در پوسته زیرین جایگزین شده، محتمل‌ترین منشأ‌گرمایی برای ذوب بخشی آن‌ها بوده است.

### مراجع

- ترکیان، ا.، ۱۳۸۷، "مطالعه ماقماتیسم توده گرانودیوریتی در منطقه جنوب قروه"، پایان‌نامه دکتری، دانشگاه اصفهان، ۱۳۵ ص.
- حسینی، م.، ۱۳۶۷، "شرح نقشه زمین‌شناسی چهار گوش قروه (مقیاس ۱:۱۰۰۰۰۰)"، سازمان زمین‌شناسی و اکتشافات معدنی کشور.
- گردیده، س.، سپاهی گرو، ع. ا.، و آلانی ف.، ۱۳۸۹، "سنگ‌شناسی و ژئوشیمی توده گرانیت‌ویلی مسیرآباد (جنوب قروه-کردستان)، فصلنامه بلورشناسی و کانسی‌شناسی ایران، سال ۱۸ (۴): ۵۶۳-۵۱۰.
- عمیدی، س. م.، ۱۳۴۵، "تحقیق سنگ‌شناسی آذرین جنوب شهرستان قروه"، پایان‌نامه کارشناسی ارشد، دانشگاه تهران، ۷۰ ص.
- نوری‌هندی، ل.، ۱۳۹۰، "بررسی شواهد نیروهای تکتونیکی در پلوتون گرانیتی قلای لان"، نویزدهمین همایش بلورشناسی و کانسی‌شناسی ایران، دانشگاه گلستان.

**Altherr, R., Holl, A., Hegner, E., Langer, C. & Kreuzer H., 2000**, "High-potassium, calcalkaline, I-type plutonism in the European Variscides: northern Vosges (France) and northern Schwarzwald (Germany)", *Lithos*, Vol. 50 (1-3): 51-73.

**Bacon, C. R. & Druitt, T. H., 1988**, "Compositional evolution of the zoned calcalkaline magma chamber of mount Mazama, Crater Lake, Oregon", *Contributions to Mineralogy and Petrology*, Vol. 98 (2): 224-256.

**Castillo, P., Rigby, S. J. & Solidum, R. U., 2007**, "Origin of high field strength element enrichment in volcanic arcs: Geochemical evidence from the Sulu Arc, southern Philippines", *Lithos*, Vol. 97 (3-4): 271-288.

**Chappell, B. W. & White, A. J. R., 1992**, "I and S-type granites in the Lachlan Fold Belt", *Transactions of the Royal Society of Edinburgh: Earth Sciences*, Vol. 83 (1-2): 1-26.

**Chappell, B. W., Bryant, C. J., Wyborn, D., White, A. J. R. & Williams, I. S., 1998**, "High and low Temperature I-type granites", *Resource Geology*, Vol. 48 (4): 225-236.

**Chappell, B. W. & White, A. J. R., 2001**, "Two contrasting granite types: 25 years later", *Austramin Journal of Earth Sciences*, Vol. 48: 489-499.

**Collins, W. J., Beams, S. D., White, A. J. R. & Chappell, B. W., 1982**, "Nature and origin of a type granites with particular to south-eastern Australia", *Contributions to Mineralogy and Petrology*, Vol. 80 (2): 189-200.

از نظر جایگاه تکتونیکی این دیوریت‌ها متعلق به قوس آتشفسانی مناطق فرورانش هستند. به اعتقاد (Altherr et al. 2000) برای تشکیل این دیوریت‌ها سه منشأ قابل ذکر است:

- ذوب بخشی بدون آب پوسته اقیانوسی فرورانده شده ۲-ذوب گوه گوشته‌ای متاسوماتیزه بالای صفحه فرورانش ۳-ذوب بخشی سنگ‌های پوسته اقیانوسی بر اثر نفوذ ماقمای بسیار کرم گوشته‌ای.
- با توجه به محتوای کم  $\text{SiO}_2$  (جدول ۱) در این واحد (Ferre et al. 1998) معتقد هستند که چنین سنگ‌هایی از طریق ذوب بخشی گوه گوشته لیتوسفری غنی شده در بالای یک زون فرورانش ناشی از آبردایی پوسته اقیانوسی دگرسان شده فرورونده تشکیل گردیده‌اند.
- فراوانی بسیار کم عناصر  $\text{Nb}$ ,  $\text{Ba}$  و  $\text{Th}$  در مقایسه با فراوانی این عناصر در گوشته غنی شده، پایین بودن نسبت‌های  $(\text{Na}_2\text{O}+\text{K}_2\text{O})/(\text{FeO}+\text{MgO}+\text{TiO}_2)$  و  $\text{TiO}_2/\text{Rb/Sr}$  (جدول ۱) در این واحد سنگی که کمتر از  $1/6$  است، بر ذوب بخشی منابع پوسته زیرین به واسطه ذوب بدون آب آمفیبولیت اشاره دارد. بنابراین، احتمالاً منشأ دیوریت‌ها پوسته مافیک زیرین است (تصویر ۸).

### ۹- نتیجه‌گیری

براساس جمع‌بندی اطلاعات به دست آمده از مطالعات صحرایی، سنگ‌شناسی و نتایج آنالیزهای ژئوشیمیابی سنگ کل نمونه‌های توده نفوذی قلای لان نتایج زیر قابل ذکر است:

- سنگ‌های این توده نفوذی از نظر ژئوشیمی از نوع I ساب آلkalan و از نظر درجه اشباع از آلومینیم (ASI) متألومن هستند.
- تصویر عناصر اصلی در نمودارهای هارکر نشان می‌دهد که بین واحدهای گرانیت و گرانیت‌پورفیری ارتباط ژنتیکی برقرار است، در حالی که واحد دیوریت به نظر می‌رسد که از منشأ متفاوتی با آنچه که در تشکیل واحدهای گرانیت و گرانیت‌پورفیری مؤثر بوده تشکیل شده است.
- نمودارهای تفکیک‌کننده محیط تکتونیکی، پایین بودن نسبت  $\text{Nb/Y}$  و  $\text{Nb/Nb/U}$  و مقادیر بالای نسبت  $\text{Ba/Nb}$  بیانگر محیطی مرتبط با فرورانش در حاشیه فعال قاره‌ای است.
- دیوریت‌ها به سبب نبود ترکیبات بسیار مافیک چه به صورت کومولا و چه به صورت زینولیت و فراوانی بسیار کم عناصر  $\text{Ba}$ ,  $\text{Nb}$  و  $\text{Th}$  نسبت به گوشته غنی شده مشخص می‌شوند. مقادیر کم این عناصر و تمرکز پایین نسبت  $\text{Rb/Sr}$  بر ذوب بخشی منابع پوسته زیرین به واسطه ذوب بدون آب آمفیبولیت اشاره دارد.
- شاخص‌های ژئوشیمیابی و حجم زیاد سنگ‌های گرانودیوریت و

- Rudnick, R. L. & Gao, S.**, 2003, "Composition of the continental crust", In: Holland, H. D. & Turekian, K. K., (Eds.), "Treatise on Geochemistry", Elsevier/Pergamon, Oxford, Vol. 3: 1-64.
- Shand, S. J.**, 1974, "The Eruptive Rocks", D. Van Nostrand Company, New York, 360 pp.
- Swain, G., Barovich, K., Hand, M., Ferris G. & Schwarz, M.**, 2008, "Petrogenesis of the St Peter Suite, southern Australia: Arc magmatism and Proterozoic crustal growth of the South Australian Craton", *Precambrian Research*, Vol. 166: 283-296.
- Thompson, A. B.**, 1996, "Fertility of crustal rocks during anatexis", *Transactions of the Royal Society of Edinburgh: Earth Sciences*, Vol. 87 (1-2): 1-10.
- Thuy, N. T. B., Satir, M., Siebel, W., Vennemann, T. & Long, T. V.**, 2004, "Geochemical and isotopic constraints on the petrogenesis of granitoids from the Dalat zone, southern Vietnam", *Journal of Asian Earth Sciences*, Vol. 23: 467-482.
- Wolf, M. B. & Wyllie J. P.**, 1994, "Dehydration-melting of amphibolite at 10 kbar: the effects of temperature and time", *Contributions to Mineralogy and Petrology*, Vol. 115 (4): 369-383.
- Woodhead, J. D. & Johnson, R. W.**, 1993, "Isotop and trace element profile across the New Britain island arc Papua new guines", *Contrib. Mineralogy Petrology*, Vol. 113: 479-491.
- Yang, J. H., Chung, S. L., Wilde, S. A., Wu, F., Chu, M. F., Lo, C. H. & Fan, H. R.**, 2005, "Petrogenesis of post-orogenic syenites in the Sulu Orogenic Belt, East China: geochronological, geochemical and Nd-Sr isotopic evidence", *Chemical Geology*, Vol. 214 (1-2): 99-125.
- Ferre, E. C., Caby, C., Peucat, J. J., Capdevila, R. & Monie P.**, 1998, "Pan-African, post collisional, ferro-potassic granite and quartz monzonite plutons of Eastern Nigeria", *Lithos*, Vol. 45 (1-4): 255-279.
- Fitton, J. G., James, D., Kempton, P. D., Ormerod, D. S. & Leeman, W. P.**, 1988, "The role of lithospheric mantle in the generation of Late Cenozoic basic magmas in the western United States", *Journal of Petrology Special Lithosphere Issue*, Vol. 1: 331-349.
- Frost, B. R., Barnes, G. G., Collins W. J., Arculus, R. J., Ellis D. J. & Frost C. D.**, 2001, "A geological classification for granitic rocks", *Journal of Petrology*, Vol. 42 (11): 2033-2048.
- Guffanti, M., Clyne, M. A. & Muffler, L. J. P.**, 1996, "Thermal and mass implications of magmatic evolution in the Lassen volcanic region, California, and constraints on basalt influx to the lower crust", *Journal of Geophysical Research*, Vol. 101 (B2): 3001-3013.
- Harker, A.**, 1909, "The natural history of igneous rocks", *Methuen London*, 344 pp.
- Hofmann, A., Jochum, K., Seufert, M. & White, M.**, 1986, "Nb and Pb in oceanic basalts: New constraints on mantle evolution", *Earth and Planetary Science Letters*, Vol. 79 (1-2): 33-45.
- Irvine, T. N. & Baragar, W. R. A.**, 1971, "A guide to the chemical classification of the common volcanic rocks", *Canadian Journal of Earth Science*, Vol. 8 (5): 523-548.
- Kuster, D. & Harms, U.**, 1998, "Post-collisional potassic granitoids from the southern and northwestern parts of the Late Neoproterozoic East African Orogen: a review", *Lithos*, Vol. 45 (1-4): 177-195.
- Mahmoudi, S., Corfu, F., Masoudi, F., Mehrabi, B. & Mohajel, M.**, 2011, "U-Pb dating and emplacement history of granitoid plutons in the northern Sanandaj-Sirjan Zone, Iran", *Journal of Asian Earth Sciences*, Vol. 41(4): 238-249.
- Maniar, P. D. & Piccolo, P. M.**, 1989, "Tectonic discrimination of granitoids", *The Geological Society of America Bulletin*, Vol. 101 (5): 635-643.
- Patino Douce, A. E. & Beard, J. S.**, 1996, "Effects of P, fO<sub>2</sub> and Mg/Fe ratio on dehydration melting of model metagreywackes", *Journal of Petrology*, Vol. 37 (5): 999-1024.
- Patino Douce, A.E.**, 1999, "What do experiments tell us about the relative contributions of crust and mantle to the origins of granitic magmas?", In: Castro, A., Fernandez, C. & Vigneresse, J. L. (Eds.), "Understanding granites: integrating new and classical techniques", Geological Society of London, Special Publication, Vol. 168: 55-75.
- Pearce, J. A., Harris, N. B. W. & Tindle, A. G.**, 1984, "Trace element discrimination diagrams for the tectonic interpretation of granitic rocks", *Journal of Petrology*, Vol. 25 (4): 956-983.
- Rogers, N. W., Hawkesworth, C. J. & Ormerod D. S.**, 1995, "Late Cenozoic basaltic magmatism in the Western Great Basin California and Nevada", *Journal of Geophysic*, Vol. 100 (B6): 10287-10301.